



УКРАЇНА

(19) UA

(11) 120419

(13) C2

(51) МПК

B27D 1/06 (2006.01)

B27M 3/04 (2006.01)

E04F 15/04 (2006.01)

МІНІСТЕРСТВО РОЗВИТКУ
ЕКОНОМІКИ, ТОРГІВЛІ ТА
СІЛЬСЬКОГО ГОСПОДАРСТВА
УКРАЇНИ

(12) ОПИС ДО ПАТЕНТУ НА ВІНАХІД

(21) Номер заявки:	а 2016 02683	(72) Винахідник(и):	Бреннстрем Ханс (SE), Бергелін Маркус (SE), Польссон Агне (SE)
(22) Дата подання заявки:	26.08.2014	(73) Власник(и):	ВЕЛІНГЕ ІННОВЕЙШН АБ, Prästavägen 513, SE-263 65 Viken, Sweden (SE)
(24) Дата, з якої є чинними права на винахід:	10.12.2019	(74) Представник:	Бочаров Максим Анатолійович, реєстр. №367
(31) Номер попередньої заявки відповідно до Парижської конвенції:	1350979-9	(56) Перелік документів, взятих до уваги експертизою:	WO 2013115704 A1, 08.08.2013 DE 3610287 A1, 10.01.1987 EP 2025481 A2, 18.02.2009 US 2706164 A, 12.04.1955 DE 908913 C, 12.04.1954 DE 202007011324 U1, 18.09.2008 CN 102756419 A, 31.10.2012 UA 80205 A, 27.08.2007
(32) Дата подання попередньої заявки відповідно до Парижської конвенції:	27.08.2013		
(33) Код держави-учасниці Парижської конвенції, до якої подано попередню заявку:	SE		
(41) Публікація відомостей про заявку:	25.04.2016, Бюл.№ 8		
(46) Публікація відомостей про видачу патенту:	10.12.2019, Бюл.№ 23		
(86) Номер та дата подання міжнародної заявки, поданої відповідно до Договору РСТ	PCT/SE2014/050969, 26.08.2014		

(54) СПОСІБ ВИГОТОВЛЕННЯ СЕРЕДНЬОГО ШАРУ З ТОНКИХ ДЕРЕВ'ЯНИХ ПЛАСТИН**(57) Реферат:**

Спосіб виготовлення напівфабрикату для будівельної панелі, наприклад підлогової дошки, що включає в себе наступні етапи: розміщення щонайменше двох дистанціюючих прокладок (14), на першій дошці з пиломатеріалу; розміщення другої дошки (15) з пиломатеріалу на дистанціюючих прокладках (14); нанесення клею; позиціонування першої і другої дощок з пиломатеріалу і дистанціюючих прокладок за допомогою прикладання тиску; і прикладання тиску (P3) на першій і другій дошках з пиломатеріалу третім і четвертим елементом (72, 73), в напрямку перпендикулярно до верхньої поверхні другої дошки з пиломатеріалу до скріплення дистанціюючих прокладок клеєм з першою і другою дошками з пиломатеріалу і при цьому одержання з'єднаної пачки; і різання з'єднаної пачки в напрямку довжини першої і другої дощок з пиломатеріалу.

UA 120419 C2

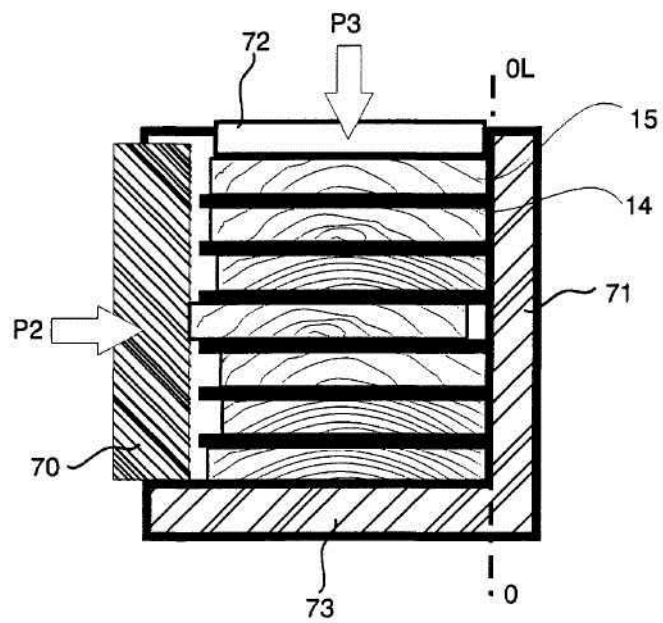


Fig. 7A

Корисна модель належить до медицини, зокрема до ортопедії та ревматології. Вона призначена і може бути використана при діагностиці розвитку остеоартрозу на ранніх етапах.

Способи прогнозування розвитку остеоартрозу відомі. До них належать рентгенографія, дослідження біоптата синовіальної оболонки, синовіальної рідини, біоптата хряща (Окороков А.Н. Диагностика болезней внутренних органов. - М., 2001. - Т. 2. - С. 186-196). Недоліком цих способів є відсутність можливості прогнозування динаміки процесу на ранніх субклінічних стадіях, профілакувати його розвиток і можливі ускладнення, обумовлені внутрішніми особливостями організму.

В основу корисної моделі поставлена задача розробки способу, який би дозволив прогнозувати розвиток остеоартрозу в ранні терміни.

Поставлена задача вирішується тим, що у способі прогнозування розвитку остеоартрозу, що включає клінічний огляд і рентгенографію, згідно з корисною моделлю, в сироватці крові хворого визначають поліморфізм гена синтази оксиду азоту (eNOS T786C), вміст ендотеліну, хрящового олігомерного матричного протеїну (COMP), інтерлейкіну 6 (ІЛ-6) і при гомозиготному носійстві 786-CC, рівнях ендотеліну >10 нг/мл, COMP >595 нг/мл, ІЛ-6 >10 нг/л прогнозують розвиток остеоартрозу.

Застосування способу. При госпіталізації хворого оглядають, роблять рентгенографію, визначають поліморфізм гена eNOS T786C, імуноферментним методом - вміст ендотеліну, COMP, ІЛ-6. При гомозиготному носійстві 786-CC та рівнях ендотеліну >10 нг/мл, COMP >595 нг/мл, ІЛ-6 >10 нг/л прогнозують розвиток остеоартрозу.

Приклад застосування способу

Хворий Д., 69 років, госпіталізований в клініку з приводу больового синдрому правого кульшового суглоба. Оглянутий, зроблена рентгенографія. Ознаки остеоартрозу не виявлені. В сироватці крові визначено поліморфізм гена eNOS T786C та імуноферментним методом - вміст ендотеліну, COMP, ІЛ-6. Встановлено гомозиготне носійство 786-CC, рівні ендотеліну - 24 нг/мл, COMP - 730 нг/мл, ІЛ-6-22 нг/л. Діагностовано розвиток остеоартрозу. Через 12 місяців на рентгенограмах виявлено явища остеоартрозу.

Таким чином, запропонований спосіб є інформативним і дозволяє діагностувати розвиток остеоартрозу в ранні терміни.

ФОРМУЛА ВИНАХОДУ

1. Спосіб виготовлення напівфабрикату для будівельної панелі, наприклад підлогової дошки, в якому:

розміщують щонайменше дві дистанціюючі прокладки (14) на першій дошці з пиломатеріалу; розміщують другу дошку (15) з пиломатеріалу на дистанціюючих прокладках (14); приклеюють дистанціюючі прокладки (14) до першої і другої дошок з пиломатеріалу, відповідно; позиціонують першу і другу дошки з пиломатеріалу і дистанціюючих прокладок за допомогою прикладання тиску (P2) першим елементом і другим елементом (70, 71), розташованим вздовж довгих країв першої і другої дошок з пиломатеріалу; і вирівнюють викривлені форми в напрямку довжини першої і/або другої дошок з пиломатеріалу за допомогою прикладання тиску (P2); здійснюють прикладання тиску (P3) на першій і другій дошках з пиломатеріалу третім і четвертим елементом (72, 73) в напрямку перпендикулярно верхній поверхні другої дошки з пиломатеріалу, до скріплення дистанціюючих прокладок з першою і другою дошкою з пиломатеріалу і тим самим одержують з'єднану пачку; і здійснюють різання з'єднаної пачки в напрямку довжини першої і другої дошок з пиломатеріалу.

2. Спосіб за п. 1, в якому дистанціюючі прокладки розміщують, по суті, перпендикулярно до першої дошки з пиломатеріалу.

3. Спосіб за п. 1 або 2, в якому калібрування здійснюють переважно фрезеруванням або струганням ширини з'єднаної пачки перед різанням з'єднаної пачки.

4. Спосіб за будь-яким з пп. 1-3, в якому довжина дистанціюючих прокладок (14) більша ширини першої і другої дошок (15) з пиломатеріалу, відповідно.

5. Спосіб за п. 4, в якому одна або більше дистанціюючих прокладок включає виступаючі частини та перший і/або другий елемент забезпечений виїмками (76) під зазначені виступаючі частини дистанціюючих прокладок (14).

6. Спосіб за будь-яким з пп. 1-3, в якому довжина дистанціюючих прокладок дорівнює або менша ширини першої і другої дошок з пиломатеріалу, відповідно.

7. Спосіб за будь-яким з попередніх пунктів, в якому перший і/або другий елемент (70, 71) має плоску поверхню, повернуту до довгих країв першої і другої дошок з пиломатеріалу.

8. Спосіб за будь-яким з попередніх пунктів, в якому перша і/або друга дошка (15) з пиломатеріалу забезпечена пазами (93) з шириною, відповідною до ширини дистанціюючих прокладок (14).

5 9. Спосіб за будь-яким з попередніх пунктів, в якому першу і другу дошку з пиломатеріалу позиціонують за допомогою прикладання тиску (P1) п'ятим і шостим елементом (74, 75) на коротких краях першої і другої дошок з пиломатеріалу.

10. Спосіб за будь-яким з попередніх пунктів, в якому розміщують першу і/або другу дошки з пиломатеріалу впритул до виступаючої частини (81) першого і/або другого елемента (70, 71).

10 11. Спосіб за будь-яким з попередніх пунктів, що містить етап розміщення декількох дошок з пиломатеріалу і дистанціюючих прокладок між другою і/або першою дошкою з пиломатеріалу.

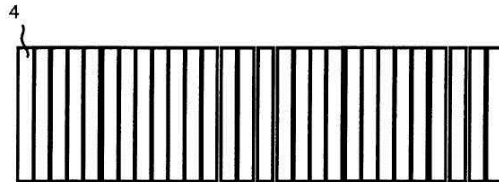


Fig. 1A



Fig. 1B



Fig. 1C

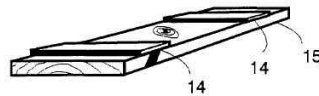


Fig. 1D

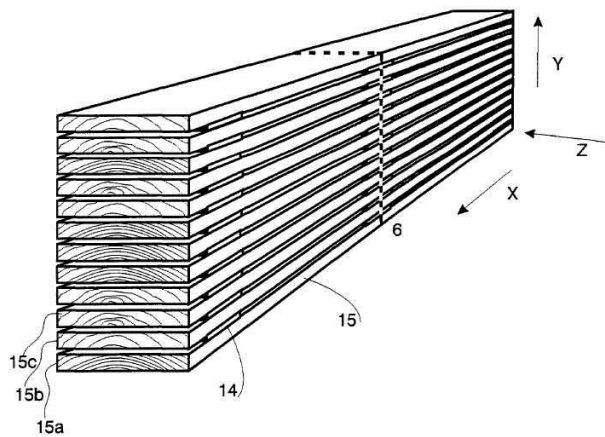


Fig. 1E

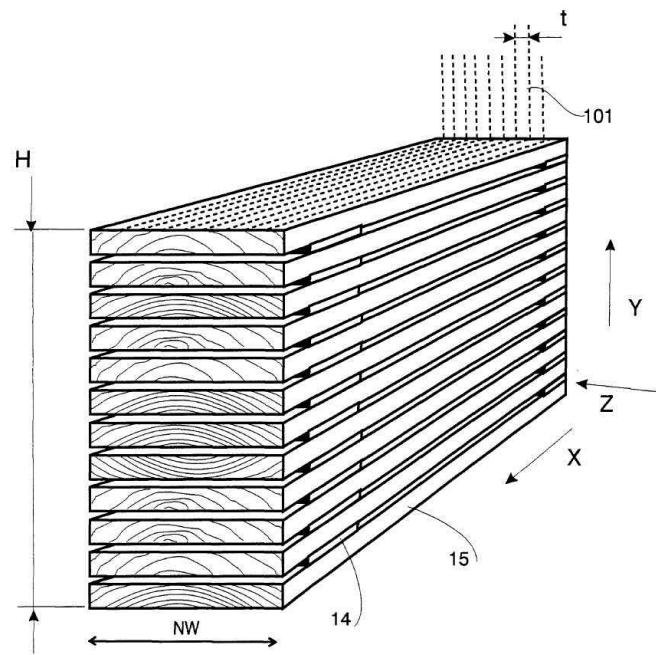


Fig. 2

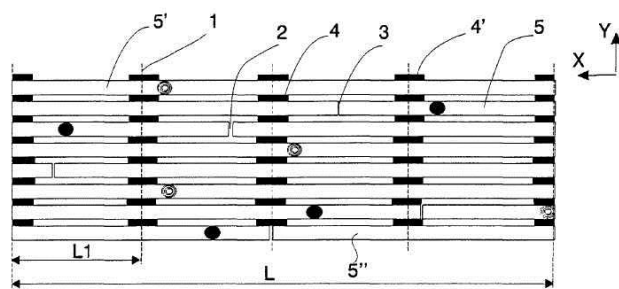


Fig. 3A

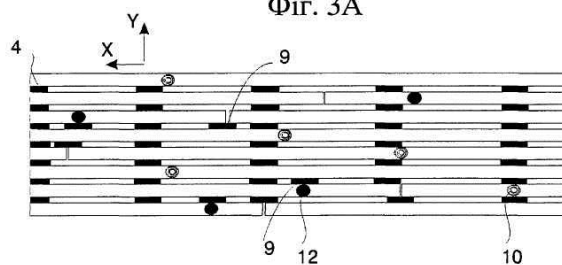


Fig. 3B

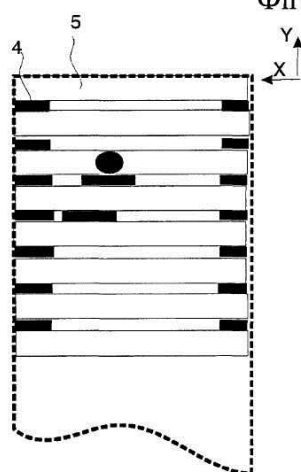


Fig. 3C

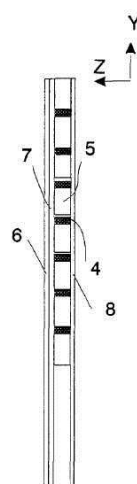


Fig. 3D

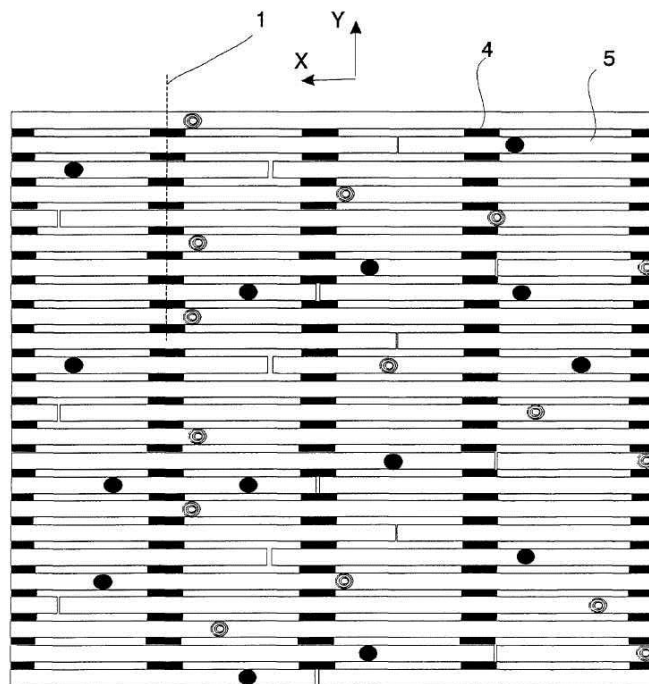


Fig. 4A

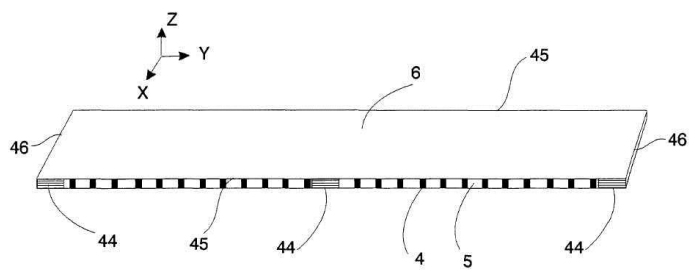


Fig. 4B

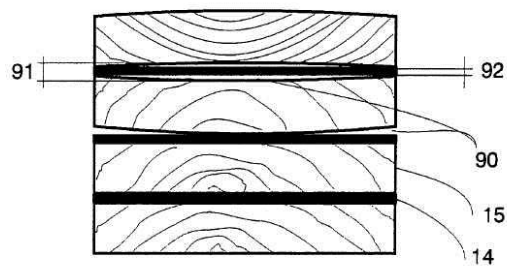


Fig. 5A



Fig. 5B

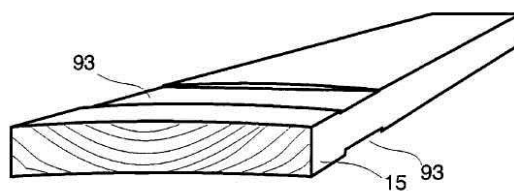


Fig. 5C

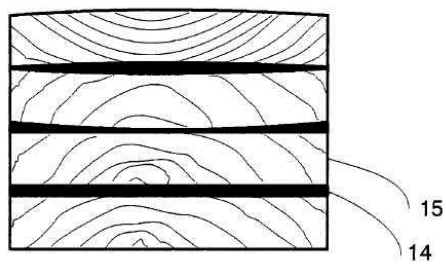


Fig. 5D

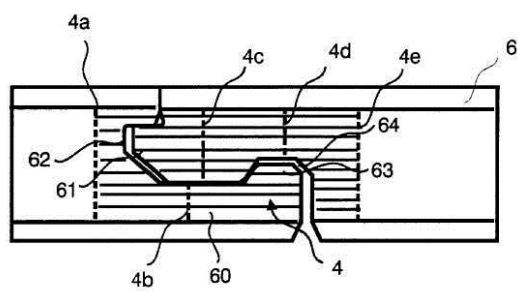


Fig. 6A

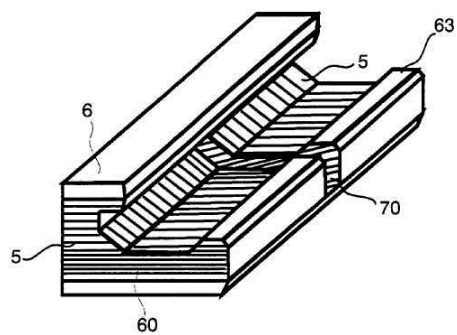


Fig. 6B

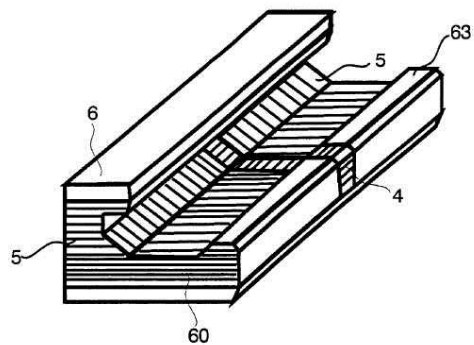


Fig. 6C

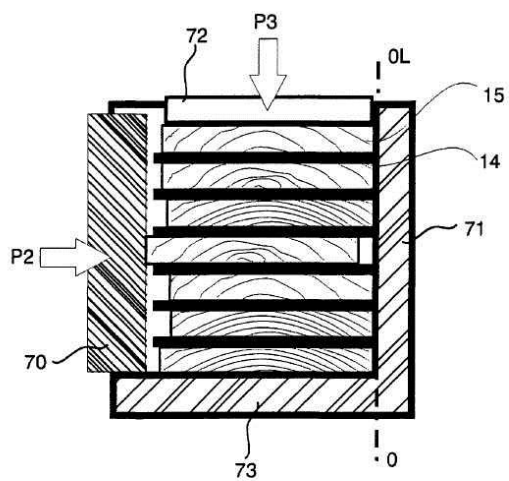


Fig. 7A

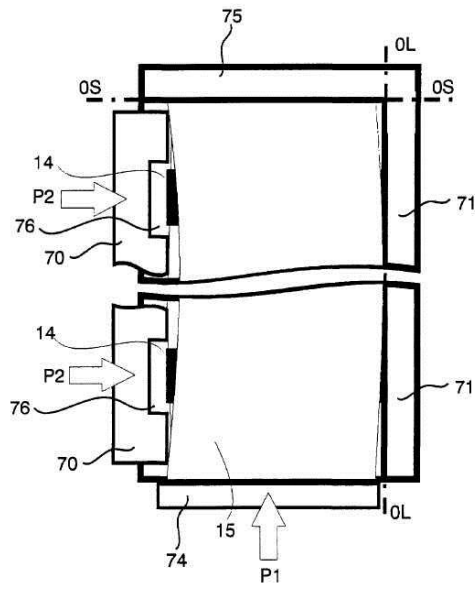


Fig. 7B

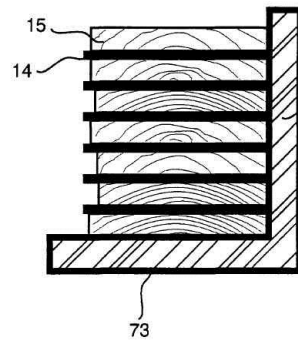


Fig. 8A

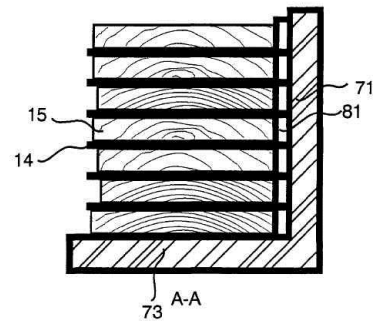


Fig. 8C

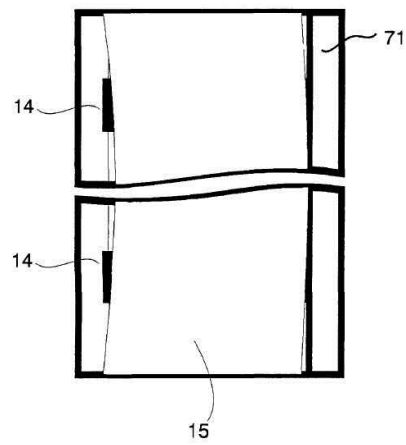


Fig. 8B

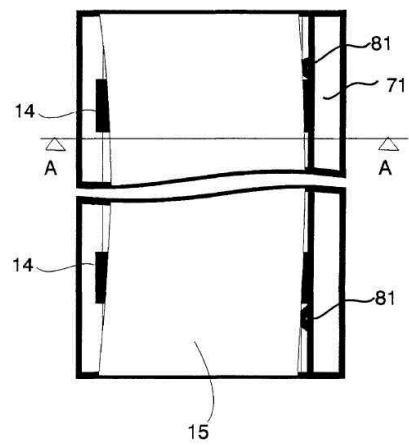


Fig. 8D

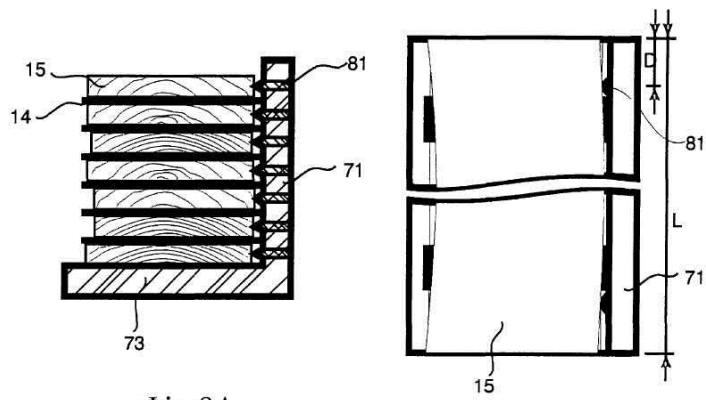


Fig. 9A

Fig. 9B

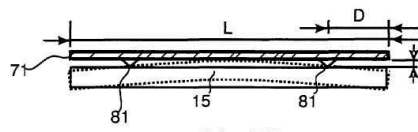


Fig. 9C

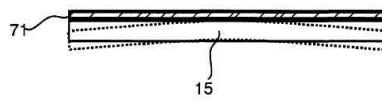


Fig. 9D

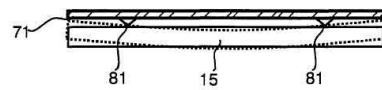


Fig. 9E

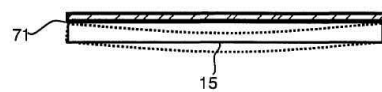


Fig. 9F

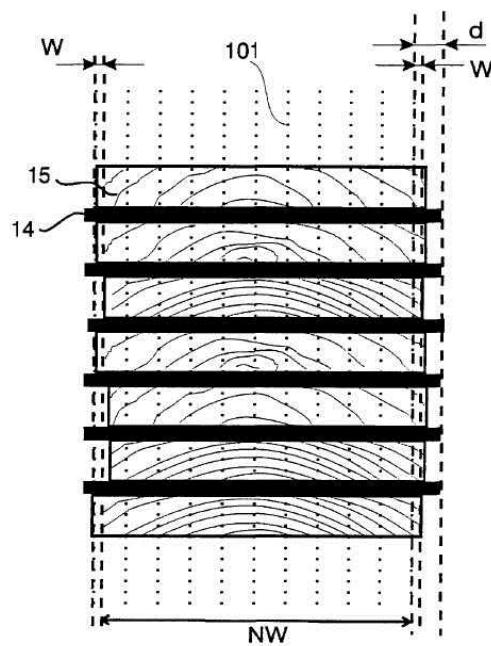


Fig. 10A

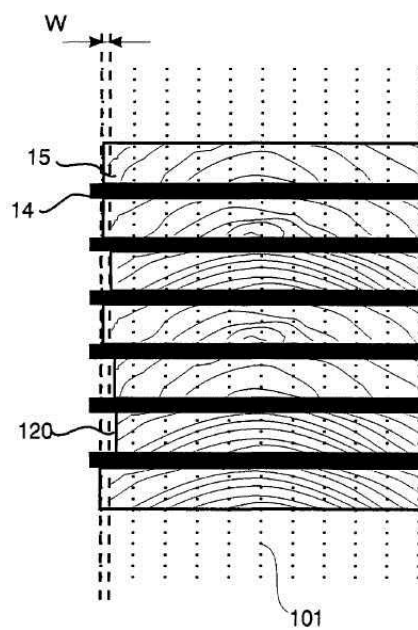


Fig. 10B

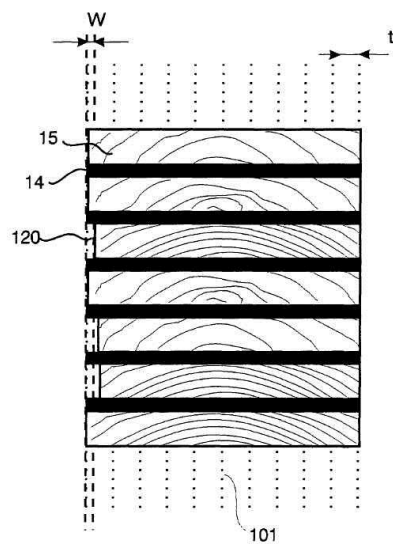


Fig. 11A

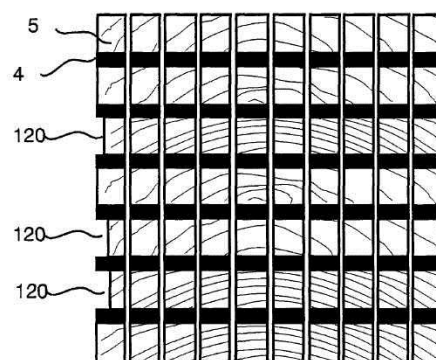


Fig. 11B

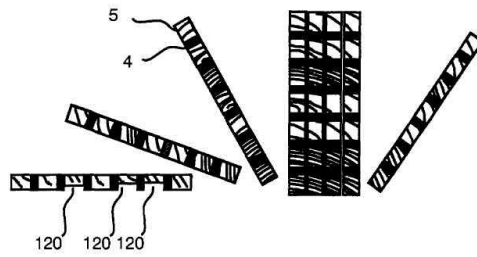


Fig. 12A

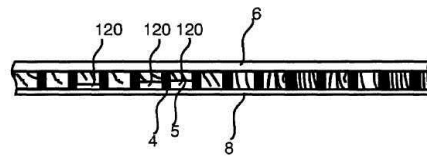


Fig. 12B

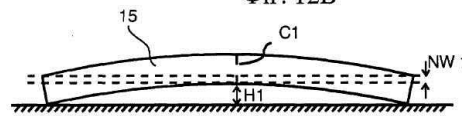


Fig. 12C

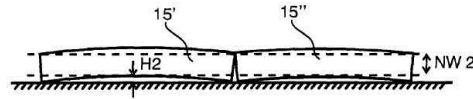


Fig. 12D

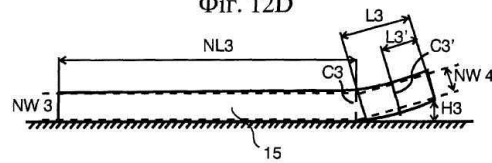


Fig. 12E

Комп'ютерна верстка В. Мацело

Міністерство розвитку економіки, торгівлі та сільського господарства України,
вул. М. Грушевського, 12/2, м. Київ, 01008, Україна

ДП "Український інститут інтелектуальної власності", вул. Глазунова, 1, м. Київ – 42, 01601